

GEOFÍSICA DE POZO: Espectrometría de Pozo



Agenda

- Introducción
- Escalas de Estudio de Subsuelo
- Que es un registro de pozo
- Herramientas de pozo
- Espectrometría de Pozo: Conceptos Básicos
- Aparatos detectores
- Perfil Gamma Ray y Gamma Ray Espectral
- Aplicaciones
- Ejercicios Prácticos.

Espectrometría de Pozo: Introducción

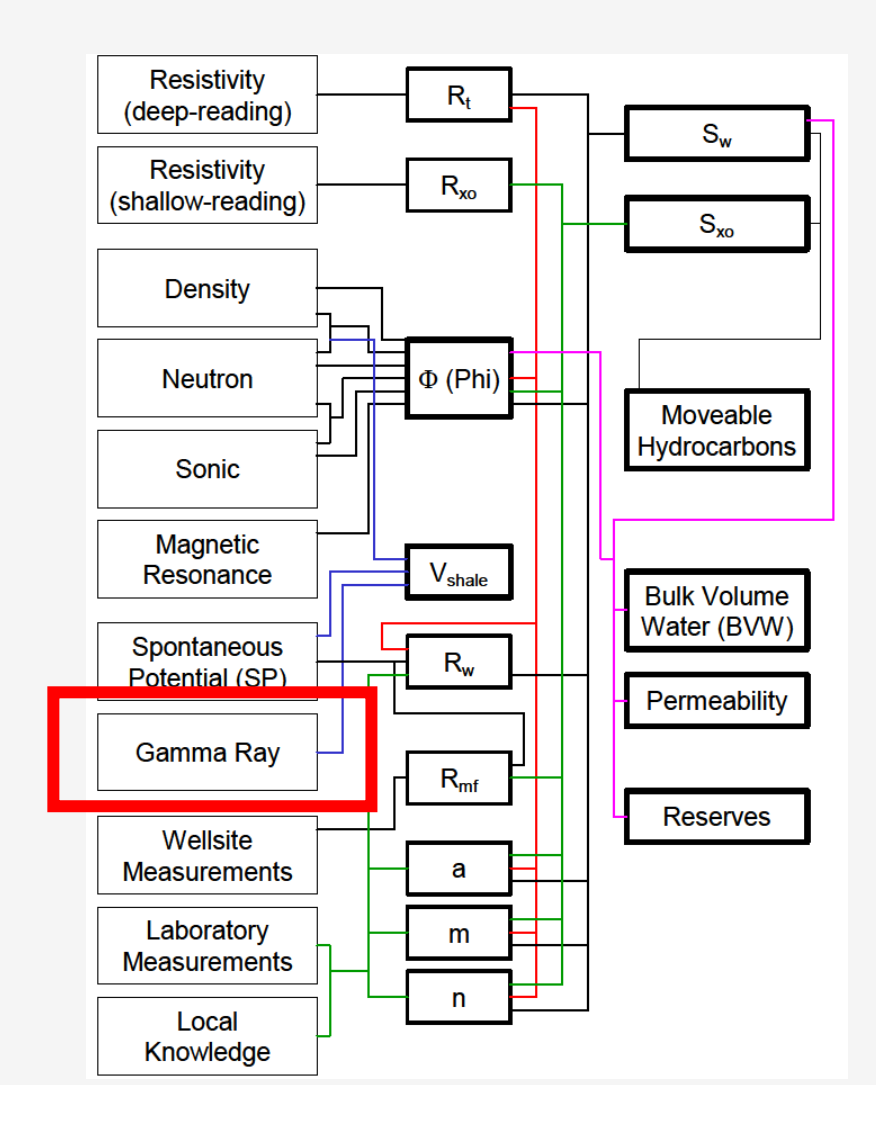
Petrofísica





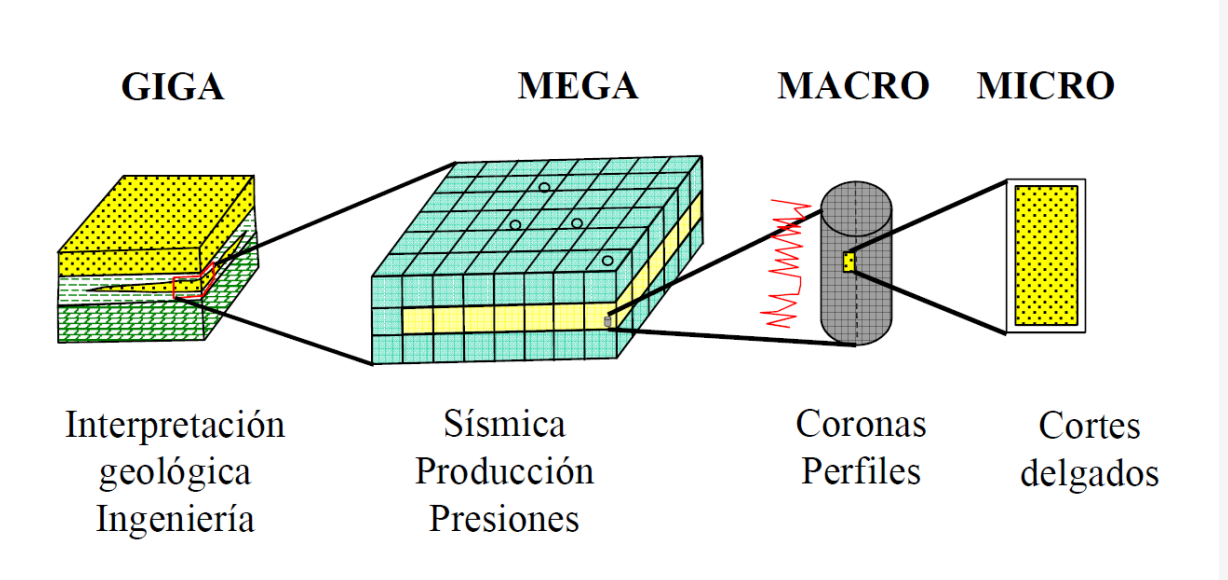
Roca

Física

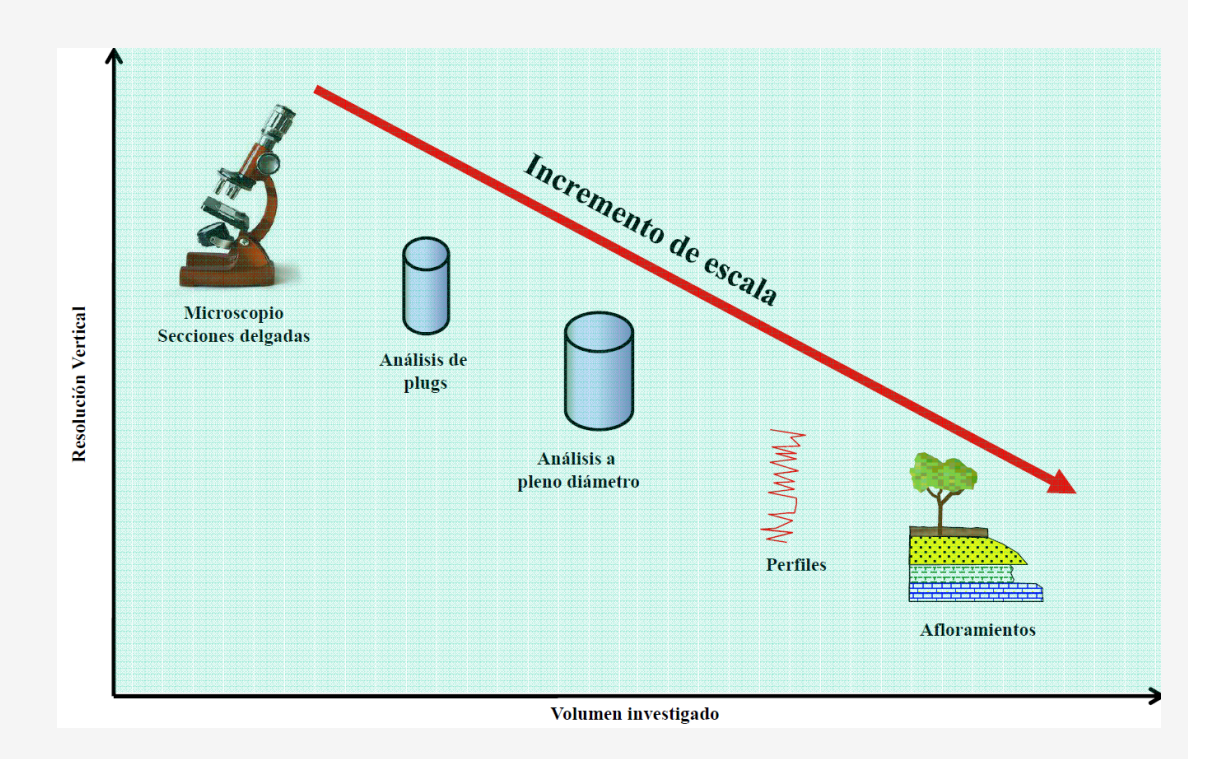


Espectrometría de Pozo: Escala de Estudio del Subsuelo

Tipos y escalas de datos de reservorio

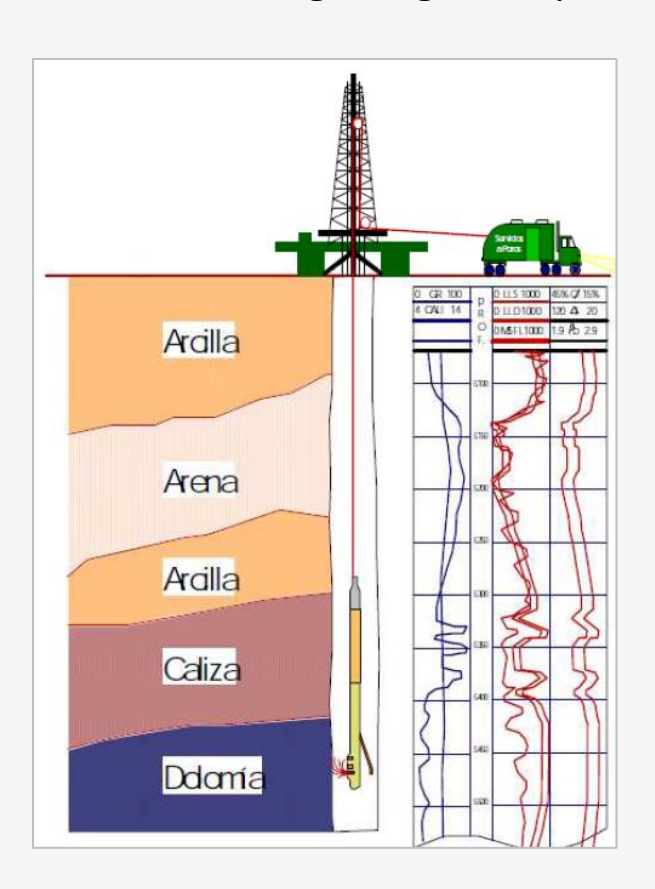


Objetivo: integración temprana de todos los datos



Espectrometría de Pozo: ¿Qué es un registro de pozo?

El perfilaje de pozo, también conocido como well logging es una manera de obtener un registro detallado de las formaciones geológicas a partir de distintos principios físico.



Estos registros se pueden realizar a:

- Pozo Abierto (Open hole Logging)
- Pozo Entubado (Case hole Logging)

Estos registros se realizar a partir de distintos *principios físicos* En esta Clase nos centraremos en los perfiles radiométricos.

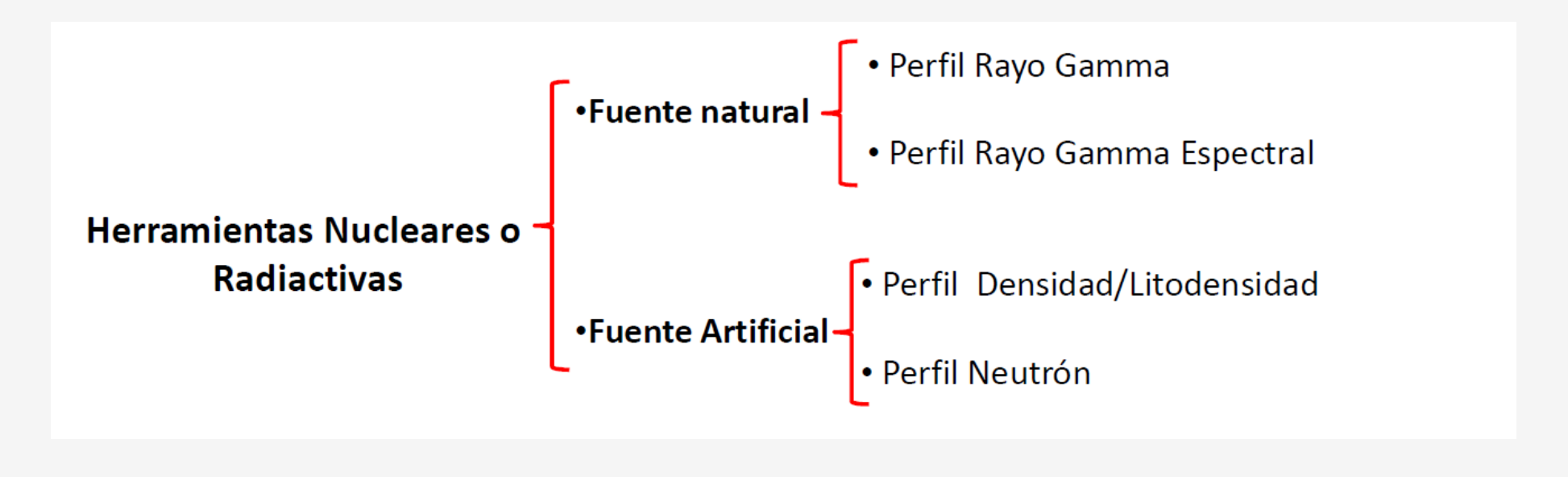
Espectrometría de Pozo: Herramientas de Pozo







Espectrometría de Pozo: Conceptos Básico





Z: es característico de un elemento

Isótopos: = Z, $\neq A$



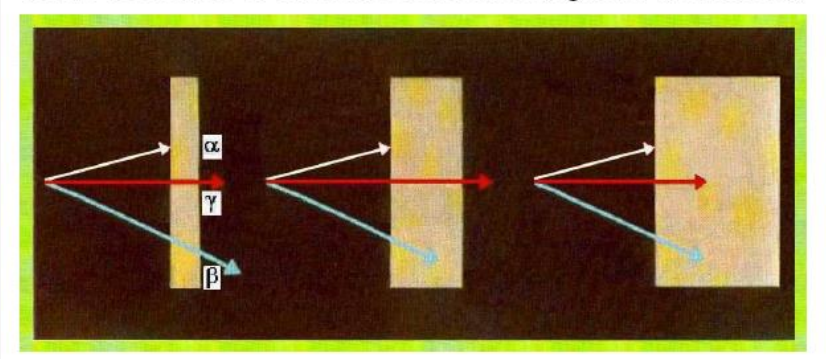
Se llaman Núcleo inestables o radiactivos a núcleos de átomos que tienden a aproximarse a la configuración estable emitiendo ciertas partículas. Todo **núcleo** con más de 84 protones ($Z_{at} > 84$) es inestable. Por ejemplo, $^{238}_{92}$ U

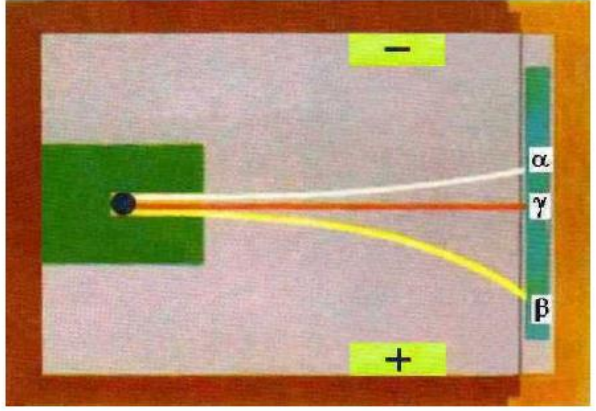
Espectrometría de Pozo: Conceptos Básico

Núclido Modo de desintegración Periodo de semidesintegración Energía desprendida (MeV) Producto de desintegración U 238 α 4.468·10º a 4,270 Th 234 Th 234 β⁻ 24,10 d 0,273 Pa 234 Pa 234 β⁻ 6,70 h 2,197 U 234 U 234 α 245500 a 4,859 Th 230 Th 230 α 75380 a 4,770 Ra 226 Ra 226 α 1602 a 4,871 Rn 222 Rn 222 α 3,8235 d 5,590 Po 218 Po 218 β⁻ 0.02 % 3,10 min 6,115 Pb 214 At 218 α 99.90 % 1,5 s 6.874 Bi 214 Rn 218 α 35 ms 7.263 Po 214 Pb 214 β⁻ 0.10 % 1,5 s 2.883 Rn 218 Rn 218 α 35 ms 7.263 Po 214 Bi 214 β⁻ 99.98 % 19.9 min 3.272 Po 214 Bi 214 α					
Th 234 β ⁻ 24,10 d 0,273 Pa 234 Pa 234 β ⁻ 6,70 h 2,197 U 234 U 234 α 245500 a 4,859 Th 230 Th 230 α 75380 a 4,770 Ra 226 Ra 226 α 1602 a 4,871 Rn 222 Rn 222 α 3,8235 d 5,590 Po 218 Po 218 β ⁻ 0.02 % 3,10 min 6,115 Pb 214 At 218 α 99.90 % 1,5 s 6.874 Bi 214 Rn 218 α 35 ms 7.263 Po 214 Pb 214 β ⁻ 26.8 min 1.024 Bi 214 Bi 214 β ⁻ 99.98 % 19.9 min 3.272 Po 214 Bi 214 α 0.02 % 19.9 min 5.617 Ti 210 Po 214 α 0.1643 ms 7.883 Pb 210 Ti 210 β ⁻ 1.30 min 5.484 Pb 210 Pb 210 β ⁻ 22.3 a 0.064 Bi 210 Po 210 α 138.376 d 5.407 Pb 206 Ti 206 β ⁻ 4.199 min 1.533 Pb 206	Núclido			desprendida	
Pa 234 β⁻ 6,70 h 2,197 U 234 U 234 α 245500 a 4,859 Th 230 Th 230 α 75380 a 4,770 Ra 226 Ra 226 α 1602 a 4,871 Rn 222 Rn 222 α 3,8235 d 5,590 Po 218 Po 218 α 99.98 % 3,10 min 6,115 Pb 214 N 228 At 218 α 99.90 % 1,5 s 6.874 Bi 214 Rn 218 α 35 ms 7.263 Po 214 Pb 214 β⁻ 26.8 min 1.024 Bi 214 Bi 214 β⁻ 99.98 % 19.9 min 3.272 Po 214 Bi 214 α 0.1643 ms 7.883 Pb 210 Po 214 α 0.1643 ms 7.883 Pb 210 Pb 210 β⁻ 99.99987% 3.00 min 5.484 Pb 210 Bi 210 β⁻ 99.99987% 5.013 d 1.426 Po 210 Bi 210 α 138.376 d 5.	U 238	α	4.468·10 ⁹ a	4,270	Th 234
U 234 α 245500 a 4,859 Th 230 Th 230 α 75380 a 4,770 Ra 226 Ra 226 α 1602 a 4,871 Rn 222 Rn 222 α 3,8235 d 5,590 Po 218 Po 218 α 99.98 % 3,10 min 6,115 Pb 214 At 218 α 99.90 % 1,5 s 6.874 Bi 214 At 218 α 99.90 % 1,5 s 2.883 Rn 218 Rn 218 α 35 ms 7.263 Po 214 Pb 214 β⁻ 99.98 % 19.9 min 3.272 Po 214 Bi 214 β⁻ 99.98 % 19.9 min 3.272 Po 214 Bi 214 α 0.1643 ms 7.883 Pb 210 Po 214 α 0.1643 ms 7.883 Pb 210 Pb 210 β⁻ 1.30 min 5.484 Pb 210 Bi 210 β⁻ 99.99987% 5.013 d 1.426 Po 210 Bi 210 α 138.376 d 5.407 <	Th 234	β-	24,10 d	0,273	Pa 234
Th 230 α 75380 a 4,770 Ra 226 Ra 226 α 1602 a 4,871 Rn 222 Rn 222 α 3,8235 d 5,590 Po 218 Po 218 α 99.98 % β 0.02 % 3,10 min 6,115 Pb 214 At 218 α 99.90 % 1,5 s 6.874 Bi 214 Rn 218 α 35 ms 7.263 Po 214 Pb 214 β 26.8 min 1.024 Bi 214 Bi 214 β 99.98 % α 0.02 % 19.9 min 3.272 Po 214 Bi 214 α 0.1643 ms 7.883 Pb 210 Ti 210 β 1.30 min 5.484 Pb 210 Pb 210 β 22.3 a 0.064 Bi 210 Bi 210 α 0.00013% 5.013 d 5.982 Ti 206 Ti 206 β 4.199 min 1.533 Pb 206 Ti 206 β 4.199 min 1.533 Pb 206	Pa 234	β-	6,70 h	2,197	U 234
Ra 226 α 1602 a 4,871 Rn 222 Rn 222 α 3,8235 d 5,590 Po 218 Po 218 α 99.98 % 3,10 min 6,115 Pb 214 At 218 α 99.90 % 1,5 s 6.874 Bi 214 Rn 218 α 35 ms 7.263 Po 214 Pb 214 β⁻ 99.98 % 19.9 min 3.272 Po 214 Bi 214 α 0.1643 ms 7.883 Pb 210 Po 214 α 0.1643 ms 7.883 Pb 210 Pb 210 β⁻ 99.99987% 1.30 min 5.484 Pb 210 Pb 210 β⁻ 99.99987% 5.013 d 1.426 Po 210 Bi 210 α 0.00013% 5.013 d 5.982 Ti 206 Po 210 α 138.376 d 5.407 Pb 206 Ti 206 β⁻ 4.199 min 1.533 Pb 206	U 234	α	245500 a	4,859	Th 230
Rn 222 α 3,8235 d 5,590 Po 218 Po 218 α 99.98 % β 0.02 % 3,10 min 6,115 0,265 Pb 214 At 218 At 218 α 99.90 % β 0.10 % 1,5 s 6.874 2.883 Bi 214 Rn 218 Rn 218 α 35 ms 7.263 Po 214 Pb 214 β 26.8 min 1.024 Bi 214 Bi 214 β 99.98 % α 0.02 % 19.9 min 3.272 5.617 Po 214 Po 214 α 0.1643 ms 7.883 Pb 210 Po 210 β 1.30 min 5.484 Pb 210 Pb 210 β 22.3 a 0.064 Bi 210 Bi 210 β 99.99987% α 0.00013% 1.426 Po 210 Bi 210 α 138.376 d 5.407 Pb 206 Ti 206 β 4.199 min 1.533 Pb 206	Th 230	α	75380 a	4,770	Ra 226
Po 218 α 99.98 % β τ 0.02 % 3,10 min 6,115 0,265 Pb 214 At 218 At 218 α 99.90 % β τ 0.10 % 1,5 s 6.874 2.883 Bi 214 Rn 218 Rn 218 α 35 ms 7.263 Po 214 Po 214 Pb 214 β τ 26.8 min 1.024 Bi 214 Bi 214 Bi 214 β τ 99.98 % α 0.02 % 19.9 min 3.272 Po 214 7.210 Po 214 α 0.1643 ms 7.883 Pb 210 Ti 210 β τ 1.30 min 5.484 Pb 210 Pb 210 β τ 22.3 a 0.064 Bi 210 Bi 210 β τ 99.99987% α 0.00013% 1.426 Po 210 7.206 Bi 210 α 138.376 d 5.407 Pb 206 Ti 206 β τ 4.199 min 1.533 Pb 206	Ra 226	α	1602 a	4,871	Rn 222
Po 218 β 0.02 % 3,10 min 0,265 At 218 At 218 α 99.90 % β 0.10 % 1,5 s 6.874 2.883 Bi 214 Rn 218 Rn 218 α 35 ms 7.263 Po 214 Pb 214 β 26.8 min 1.024 Bi 214 Bi 214 β 99.98 % α 0.02 % 19.9 min 3.272 5.617 Po 214 Po 214 α 0.1643 ms 7.883 Pb 210 Tl 210 β 1.30 min 5.484 Pb 210 Pb 210 β 22.3 a 0.064 Bi 210 Bi 210 β 99.99987% α 0.00013% 1.426 5.013 d Po 210 5.982 Tl 206 Po 210 α 138.376 d 5.407 Pb 206 Tl 206 β 4.199 min 1.533 Pb 206	Rn 222	α	3,8235 d	5,590	Po 218
At 218 α 99.90 % $β$ ° 0.10 % 1,5 s 6.874 2.883 Bi 214 2.883 Rn 218 Rn 218 α 35 ms 7.263 Po 214 Pb 214 $β$ ° 26.8 min 1.024 Bi 214 Bi 214 $β$ ° 99.98 % $β$ ° 20.8 min 3.272 Po 214 Fo 214 $β$ ° 0.1643 ms 7.883 Pb 210 Po 214 $β$ ° 1.30 min 5.484 Pb 210 Pb 210 $β$ ° 22.3 a 0.064 Bi 210 Bi 210 $β$ ° 99.99987% $β$ ° 0.00013% 1.426 $β$ ° Po 210 Po 210 Po 210 $β$ ° 138.376 d 5.407 Pb 206 Tl 206 $β$ ° 4.199 min 1.533 Pb 206	Po 218		3,10 min	_,	
At 218 β° 0.10 % 1,5 s 2.883 Rn 218 Rn 218 α 35 ms 7.263 Po 214 Pb 214 β° 26.8 min 1.024 Bi 214 Bi 214 β° 99.98 % α 0.02 % 19.9 min 3.272 Po 214 Ti 210 Po 214 α 0.1643 ms 7.883 Pb 210 Ti 210 β° 1.30 min 5.484 Pb 210 Pb 210 β° 22.3 a 0.064 Bi 210 Bi 210 β° 99.99987% α 0.00013% 5.013 d 1.426 Po 210 Ti 206 Po 210 α 138.376 d 5.407 Pb 206 Ti 206 β° 4.199 min 1.533 Pb 206		β 0.02 %		0,265	At 218
Rn 218 α 35 ms 7.263 Po 214 Pb 214 $β^{-}$ 26.8 min 1.024 Bi 214 Bi 214 $β^{-}$ 99.98 % α 0.02 % 19.9 min 3.272 Po 214 5.617 Po 214 Tl 210 Po 214 α 0.1643 ms 7.883 Pb 210 Pb 210 Tl 210 $β^{-}$ 1.30 min 5.484 Pb 210 Pb 210 Pb 210 $β^{-}$ 22.3 a 0.064 Bi 210 Bi 210 Bi 210 $β^{-}$ 99.99987% α 0.00013% 1.426 Po 210 5.982 Tl 206 Tl 206 Po 210 α 138.376 d 5.407 Pb 206 Tl 206 $β^{-}$ 4.199 min 1.533 Pb 206	At 218		1,5 s		
Pb 214 $β^{-}$ 26.8 min 1.024 Bi 214 Bi 214 $β^{-}$ 99.98 % α 0.02 % 19.9 min 3.272 Po 214 Tl 210 Po 214 α 0.1643 ms 7.883 Pb 210 Ti 210 $β^{-}$ 1.30 min 5.484 Pb 210 Pb 210 $β^{-}$ 22.3 a 0.064 Bi 210 Bi 210 $β^{-}$ 99.99987% α 0.00013% 1.426 Po 210 Tl 206 Po 210 $α$ 138.376 d 5.407 Pb 206 Ti 206 $β^{-}$ 4.199 min 1.533 Pb 206		β 0.10 %		2.883	
Bi 214 $β^- 99.98\%$ α 0.02 % 19.9 min 3.272 5.617 Po 214 TI 210 Po 214 α 0.1643 ms 7.883 Pb 210 TI 210 $β^-$ 1.30 min 5.484 Pb 210 Pb 210 $β^-$ 22.3 a 0.064 Bi 210 Bi 210 $β^- 99.99987\%$ α 0.00013% 1.426 5.982 Po 210 Po 210 α 138.376 d 5.407 Pb 206 TI 206 $β^-$ 4.199 min 1.533 Pb 206	Rn 218	α	35 ms	7.263	Po 214
Bi 214 α 0.02 % 19.9 min 5.617 TI 210 Po 214 α 0.1643 ms 7.883 Pb 210 Ti 210 β⁻ 1.30 min 5.484 Pb 210 Pb 210 β⁻ 22.3 a 0.064 Bi 210 Bi 210 β⁻ 99.99987% 1.426 Po 210 α 0.00013% 5.013 d 5.982 Ti 206 Po 210 α 138.376 d 5.407 Pb 206 Ti 206 β⁻ 4.199 min 1.533 Pb 206	Pb 214	β-	26.8 min	1.024	Bi 214
TI 210 β⁻ 1.30 min 5.484 Pb 210 Pb 210 β⁻ 22.3 a 0.064 Bi 210 Bi 210 $β⁻$ 99.99987% $α$ 0.00013% 1.426 $β⁻$ Po 210 f TI 206 Po 210 $α$ 138.376 d 5.407 f Pb 206 TI 206 $β⁻$ 4.199 min 1.533 f Pb 206	Bi 214		19.9 min		
Pb 210 β⁻ 22.3 a 0.064 Bi 210 Bi 210 $β⁻$ 99.99987% $α$ 0.00013% 5.013 d 1.426 Po 210 Fo	Po 214	α	0.1643 ms	7.883	Pb 210
Bi 210 β- 99.99987% α 0.00013% 5.013 d 1.426 po 210	TI 210	β-	1.30 min	5.484	Pb 210
Bi 210 α 0.00013% 5.013 d 5.982 TI 206 Po 210 α 138.376 d 5.407 Pb 206 TI 206 β² 4.199 min 1.533 Pb 206	Pb 210	β-	22.3 a	0.064	Bi 210
α 0.00013% 5.982 TI 206 Po 210 α 138.376 d 5.407 Pb 206 TI 206 β² 4.199 min 1.533 Pb 206	Bi 210	β- 99.99987%	5.013 d	1.426	Po 210
TI 206 β ⁻ 4.199 min 1.533 Pb 206		α 0.00013%		5.982	TI 206
	Po 210	α	138.376 d	5.407	Pb 206
Pb 206 - estable	TI 206	β-	4.199 min	1.533	Pb 206
	Pb 206	-	estable	-	-

TIPOS DE RADIACIONES

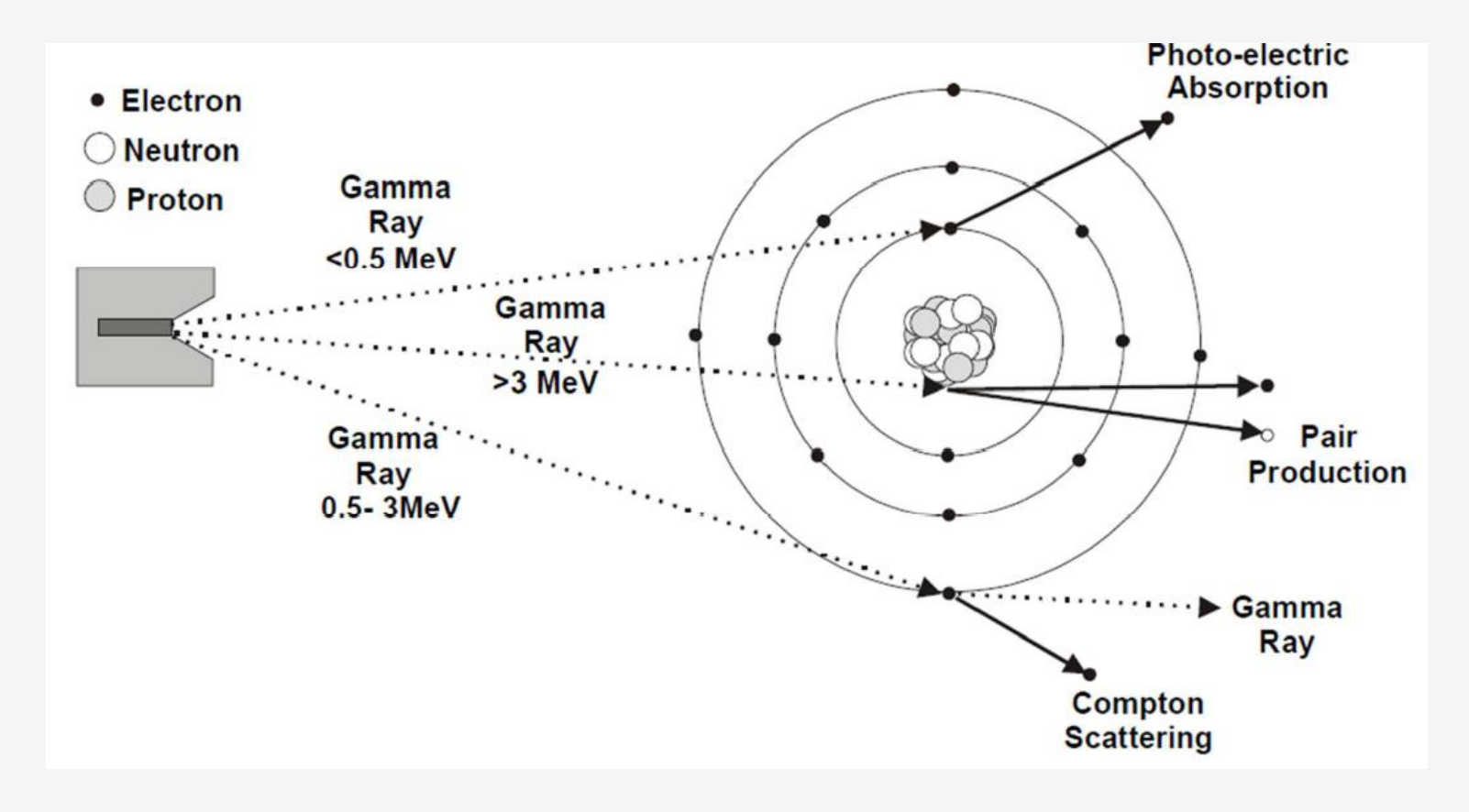
El neocelandés **Ernest Rutherford** (gran jugador de rugby, como debía ser) descubrió en Cambridge en 1900 los tres tipos básicos de radiación *emitidas por el núcleo atómico* (y logró el premio Nobel), por la experiencia de desviación dada por un imán entre la placa fotográfica y el bloque de plomo taladrado donde se situaba el elemento radiactivo (figura a la derecha),





viendo la distinta desviación de las partículas. El gráfico de la izquierda ilustra la capacidad de penetración relativa de las radiaciones a causa de su distinta naturaleza: máxima en las γ , media en las β , mínima en las α .

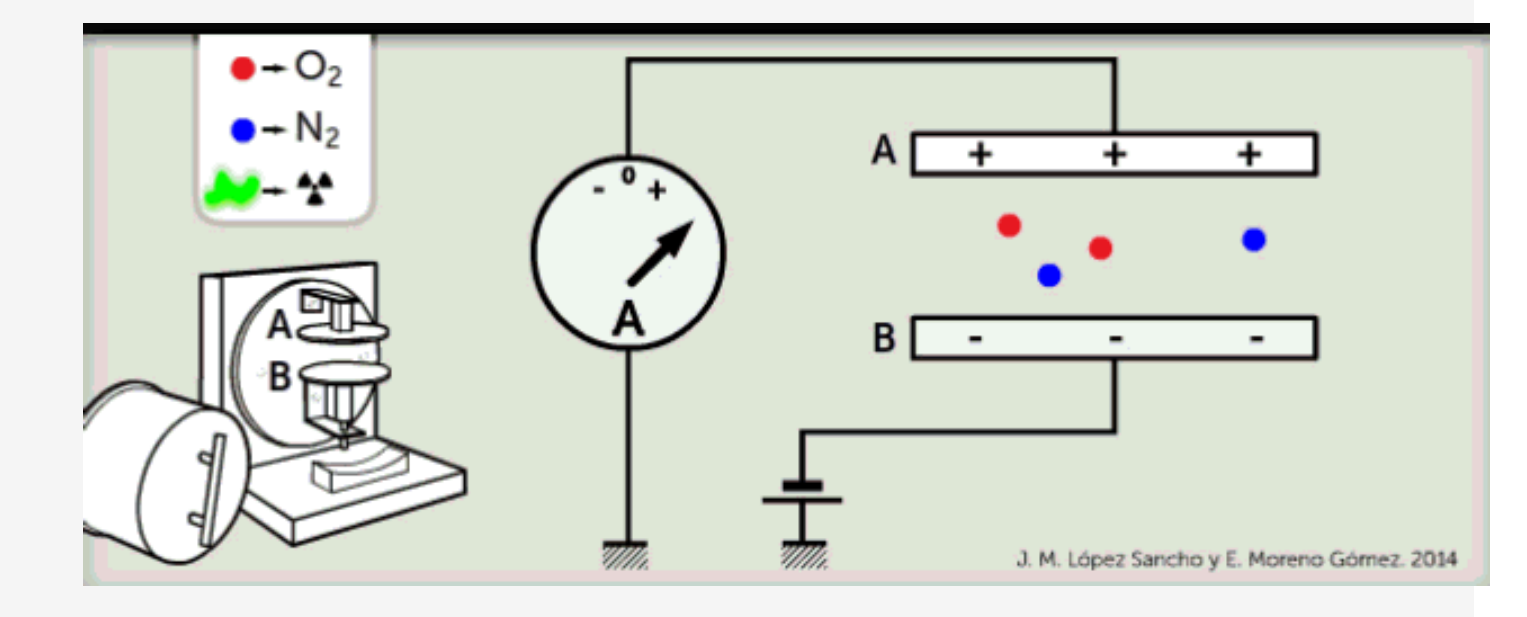
Espectrometría de Pozo: Conceptos Básico



El número de colisiones, la reducción de energía de los rayos γ y el número de rayos γ adsorbidos se relacionan directamente con el número de electrones de los materiales atravesados, en este caso unidades litológicas

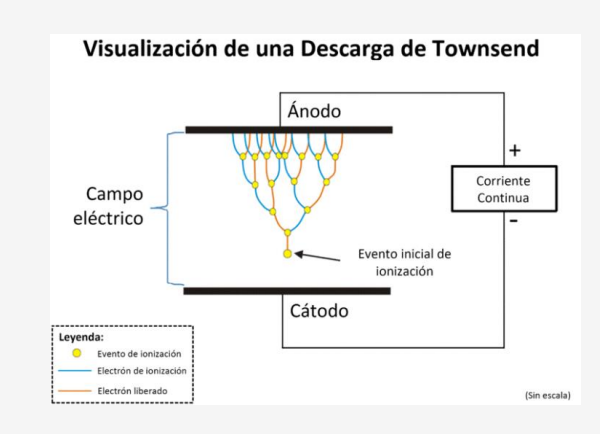
Espectrometría de Pozo: Aparatos Detectores

• Cámara de Ionización: desarrollada desde 1896 por Wilhelm Röentgen, Henri Becquerel y otros, usada en prospección desde 1913. Es un tubo de vidrio o metal con gas en su interior (aire, metano, argón u otro) donde, si entra radiación ionizante, ocurre desplazamiento de iones creando un camino conductor entre el ánodo

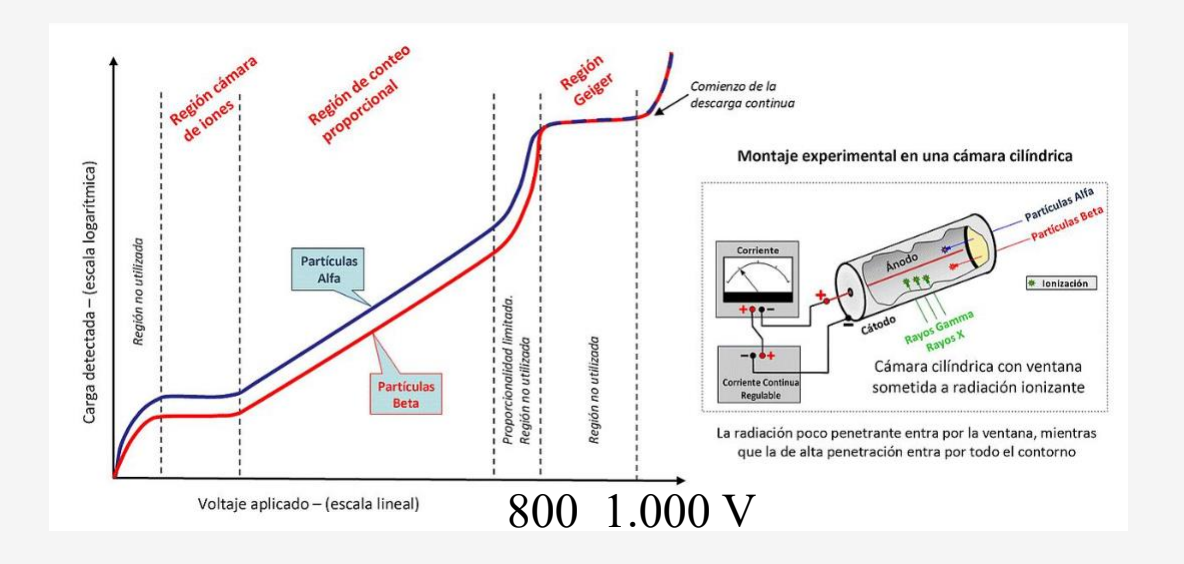


Espectrometría de Pozo: Aparatos Detectores

Contador Geiger-Müller: desarrollado en 1928 por los alemanes Hans Geiger y Walther Müller a partir de la cámara de ionización, pero, a diferencia de ésta, trabaja con tensiones más altas, de entre 800 y 1.000 V



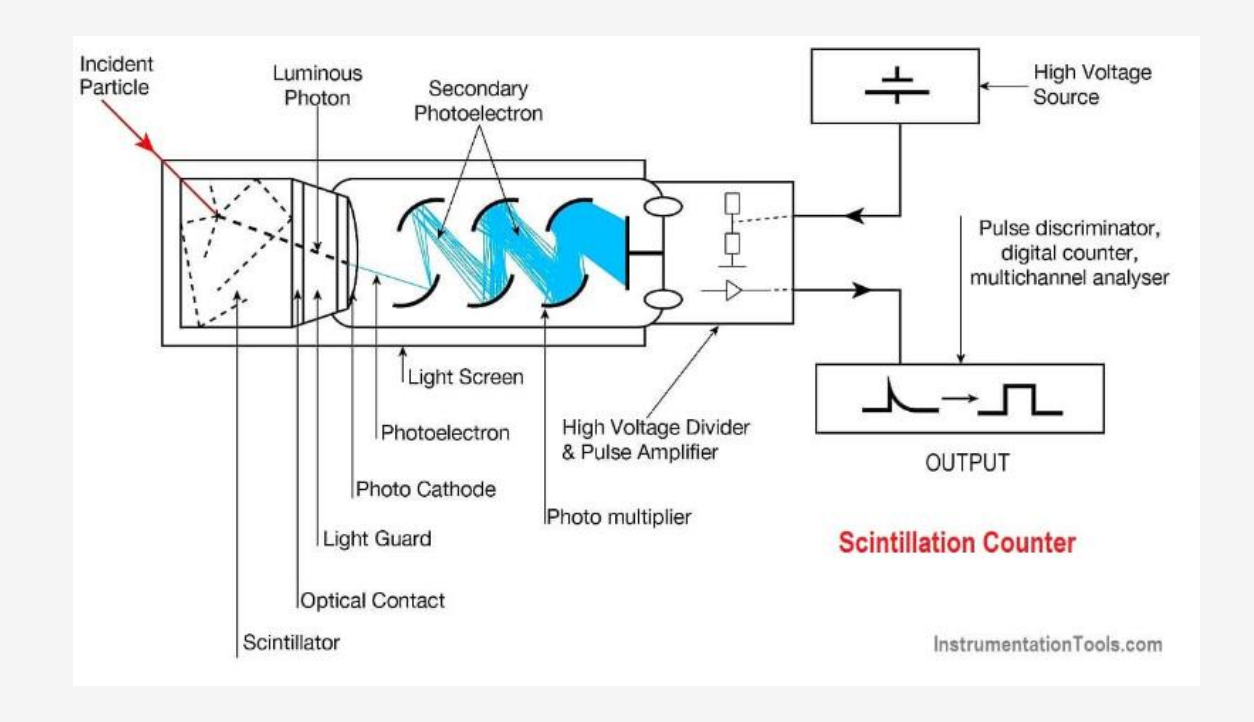
Tiene una entrada de radiaciones al tubo (semejante al de la cámara) las cuales colisionan con los átomos del gas allí contenido (metanoy argón). Esto genera la *expulsión de electrones en avalancha*, que son ahí registrados como una única pulsación, independientemente de la cantidad de energía inicial de la radiación, no siendo posible la distinción de distintas clases de emisión. Asegura respuestas en presencia de niveles bajos de radiación



Espectrometría de Pozo: Aparatos Detectores

Centellómetro o destellómetro

Éste está basado en una propiedad denominada emisión de luz visible, más conocida como luminiscencia. Los destellos característicos del efecto Compton, que pueden visualizarse en la cámara de destellos (figura a la derecha). Pero además el fotocátodo emite electrones (por efecto fot oeléctrico) hacia el interior del tubo fotomultiplicador. Es el dispositivo que se encarga de la transformación de la intensidad luminosa de un centelleo en una señal eléctrica proporcional.

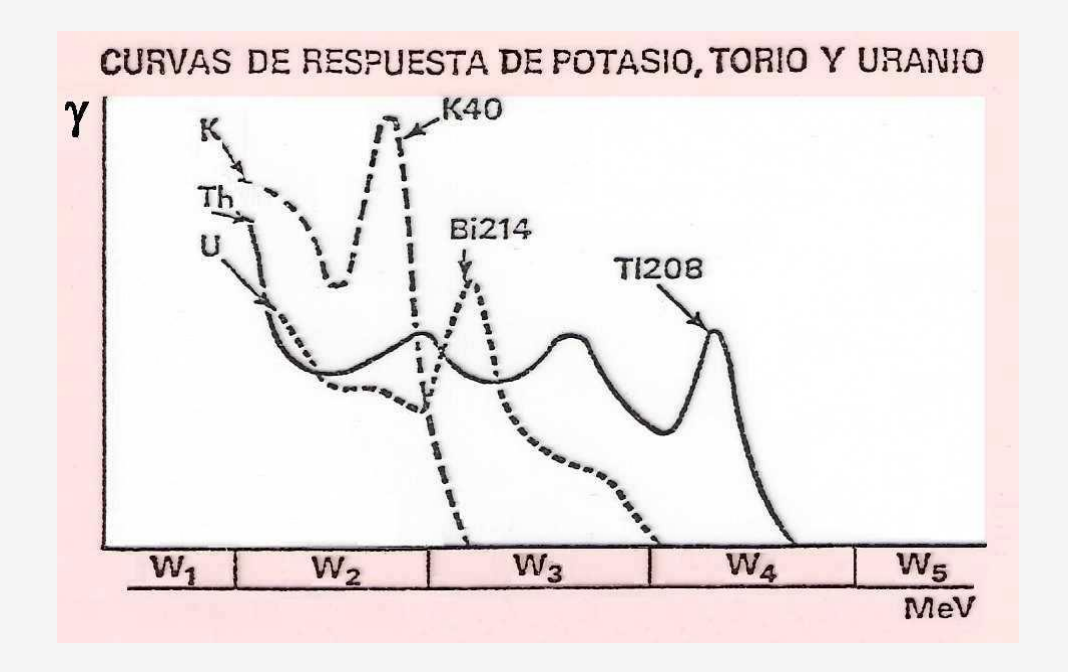


Fotocadoto: NaI, CsI u otros, casi siempre activados con Tl: Puesto que el centelleo de luz y el número primario de electrones son proporcionales a la energía de GR, la corriente final del escintilómetro es también proporcional a la energía del rayo gamma incidente.

Espectrómetro de rayos γ : Permite identificar los isótopos emisores

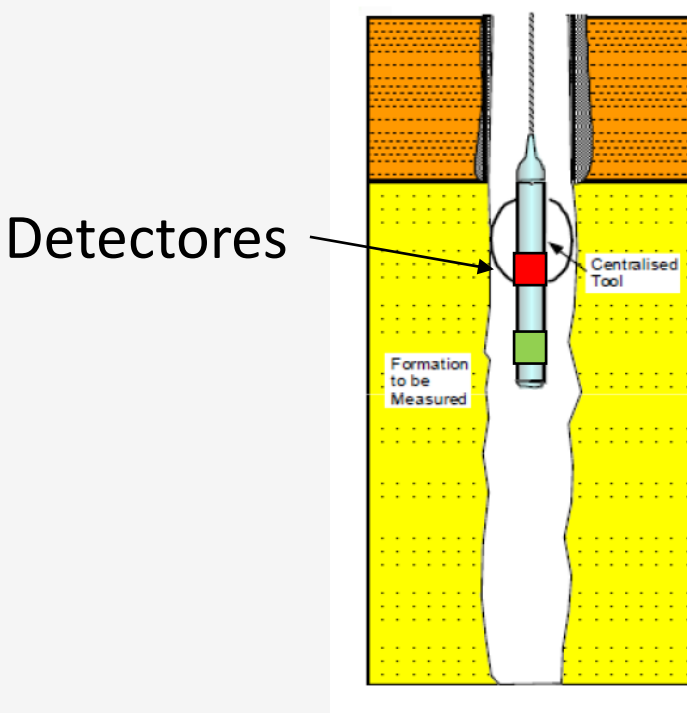
de los rayos γ midiendo la energía con que éstos arriban al aparato. Actualmente existen dos tipos principales:

Los más **convencionales** (fotografía adjunta) están construidos sobre la base de un centellómetro de NaI (Tl) al que se ha acoplado un sistema electrónico de analizador multicanal que formatea la sucesión de pulsos arribados según el número de cuentas/segundo en ordenadas y canales o ventanas Wn de muestreo

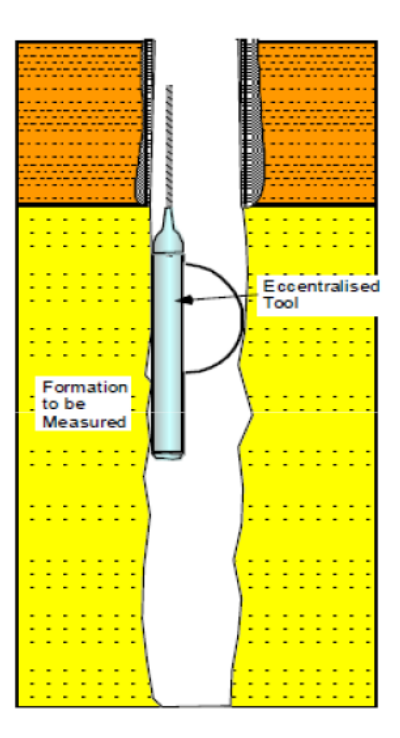


Espectrometría de Pozo: Principios de Medición GAMM RAY

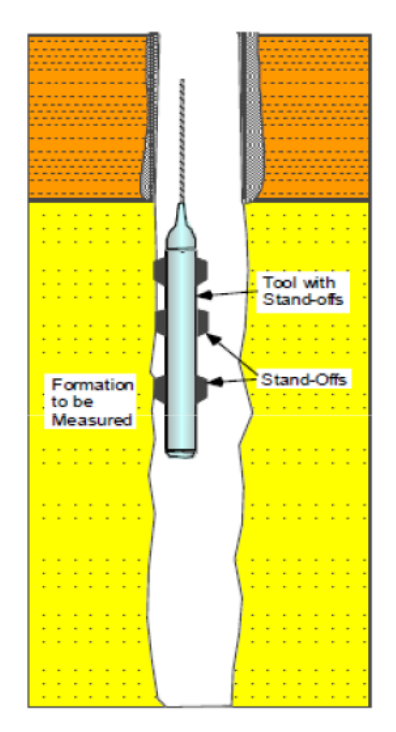
Posicionamiento de la Herramienta de Perfilaje



Algunas herramientas son corridas centralizadas en el pozo para medir una propiedad determinada (e.g., Laterolog, Sónico)



Algunas herramientas son corridas excentralizadas, apretadas sobre la pared del pozo (e.g., neutrónico).



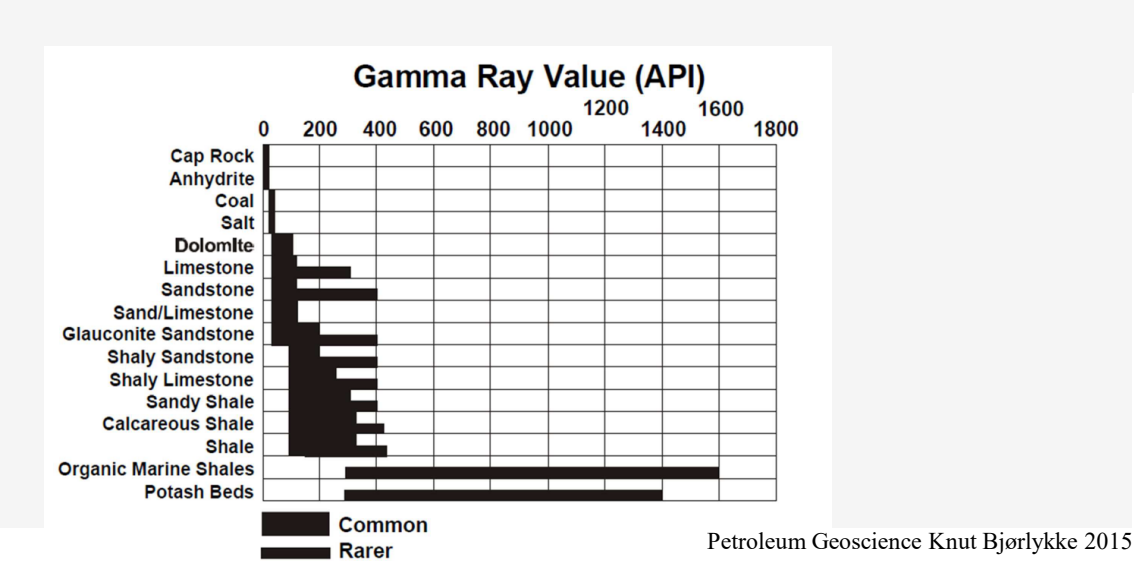
Algunas herramientas son corridas usando 'standoffs'para posicionarlas a una distancia fija de la pared (e.g., inducción).

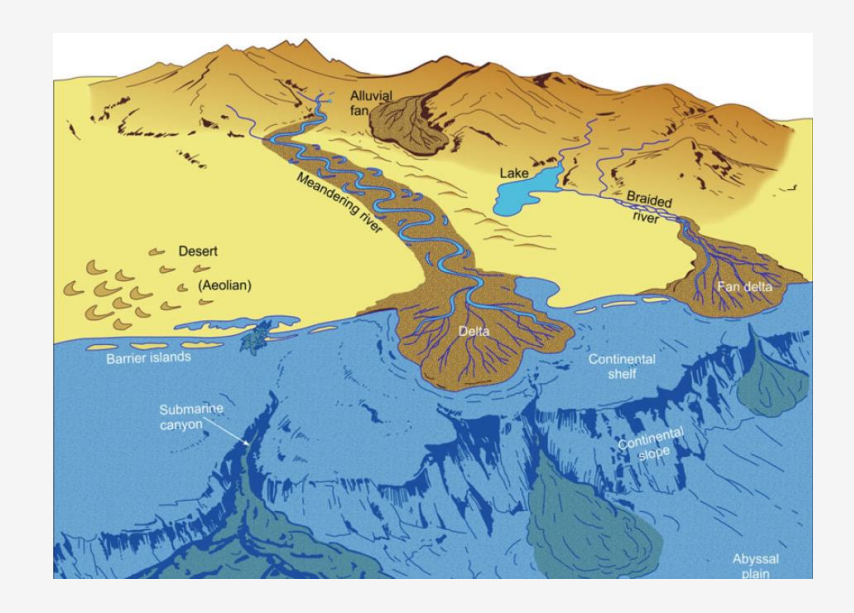
Espectrometría de Pozo: Perfil GAMMA RAY

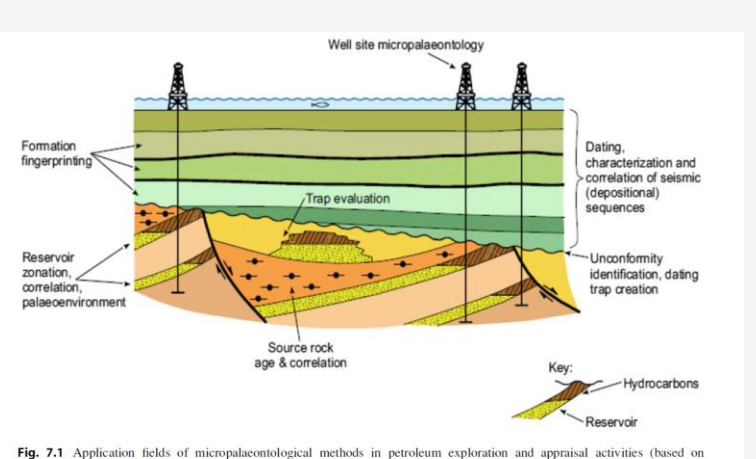
Toda la radiación gamma natural que podemos medir proviene del Potasio, Torio y Uranio que se encuentra en las formaciones geologicas

En la mayoría de los casos las formaciones arcillosas son las mas radioactivas.

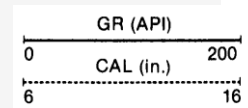
Potasio y Torio están muy asociados con arcillas (illitas, kaolinita, montmorillonita), mientras que el Uranio se puede encontrar en arenas, arcillas y en algunos carbonatos.

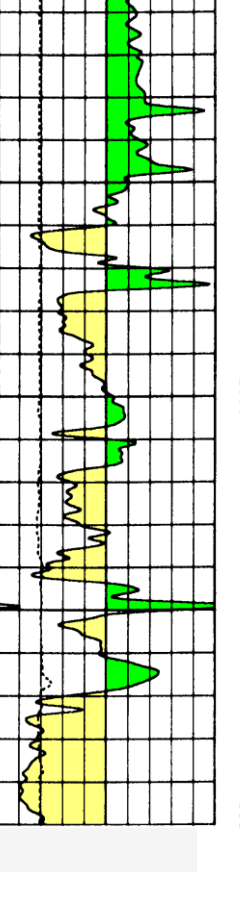










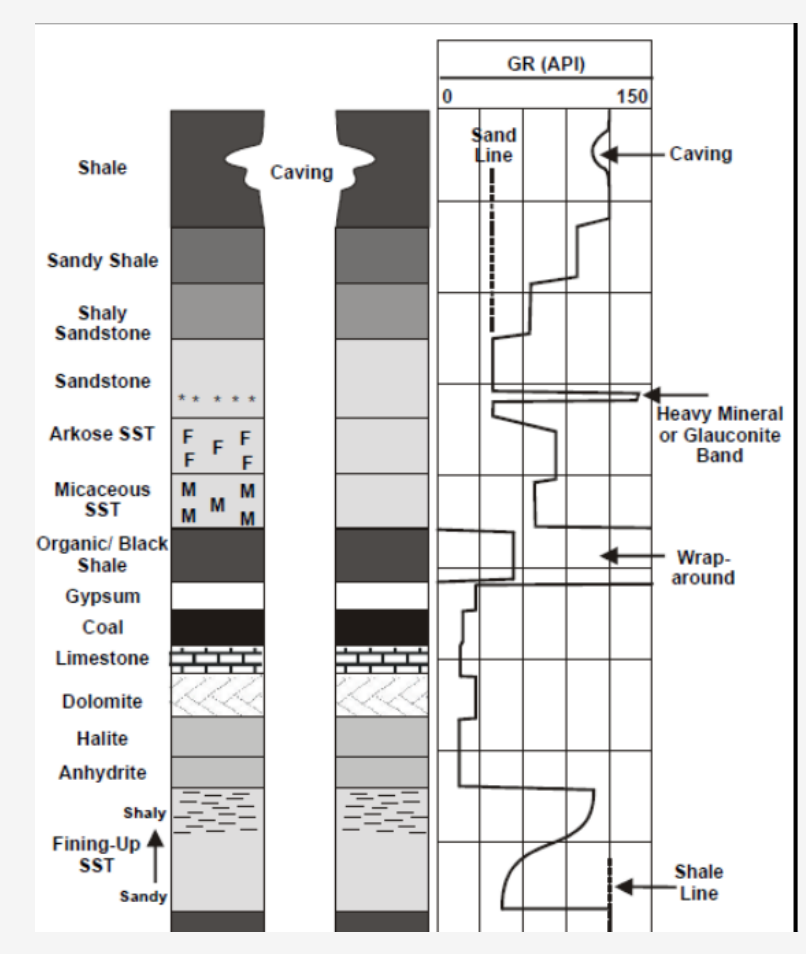


Espectrometría de Pozo: Aplicaciones GAMMA RAY

- Correlación con otros registros
- Calcular el contenido de arcilla en las formaciones de interés
- Delinear límites estratigráficos para varios registros de producción
- Usualmente la curva de rayos gamma correlaciona con la curva de SP
- La herramienta de rayos gamma se puede correr en cualquier tipo de líquido o en pozos de aire, también a pozo abierto o entubado, por eso es muy importante para la correlación de servicios de pozo entubado.

Las cuentas por segundo entregadas por la herramienta se a partir de una estandarización realizada por el Instituto Americano de Petróleo (API)

La unidad de rayos gamma API esta definida como la diferencia entre la zona de alta actividad con respecto a la zona de baja actividad dividido por 200, en el patrón de calibración establecido en la Universidad de Houston.



Rider 2004

Profundidad de investigación: ≈30-40 cm.

Espectrometría de Pozo: Aplicaciones GAMMA RAY

La evaluación cuantitativa de Vsh asume que estan ausentes otros madioactivos que no sean lutitas y arcillas!

$$I_{GR} = (GR_{log} - Gr_{clean}) / (GR_{sh} - Gr_{clean})$$

Donde

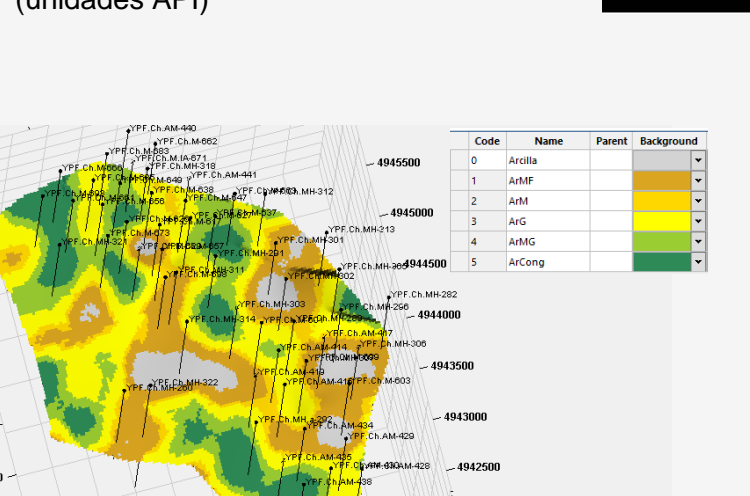
II-S2

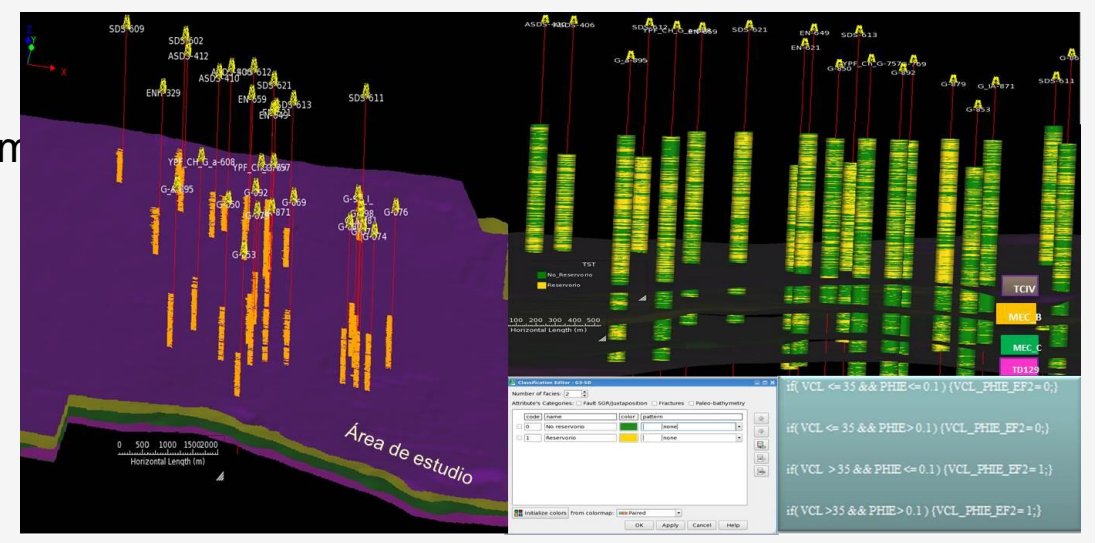
Gr_{log} = Valor del registro en la zona de interés (unidades API)

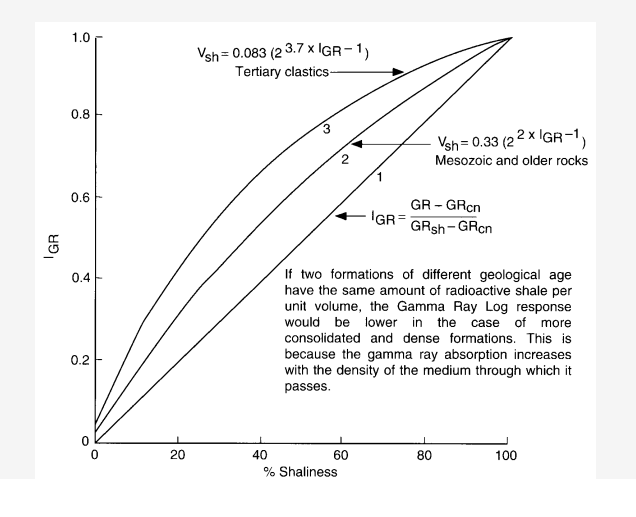
Gr_{clean}= Valor del registro en una zona considerada libre de arcilla (unidades API)

GR_{sh} = Valor del registro en un zona de arcilla (unidades API)

I_{GR} = Indice de Arcillosidad de Gamma Ray



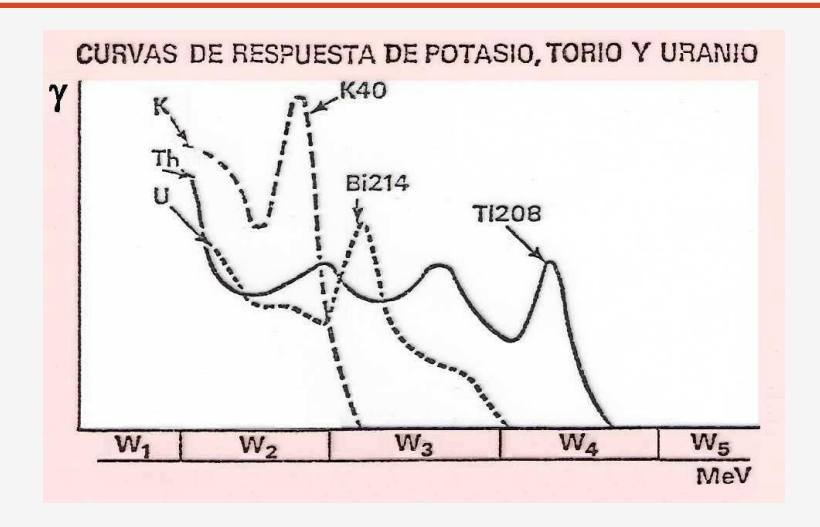


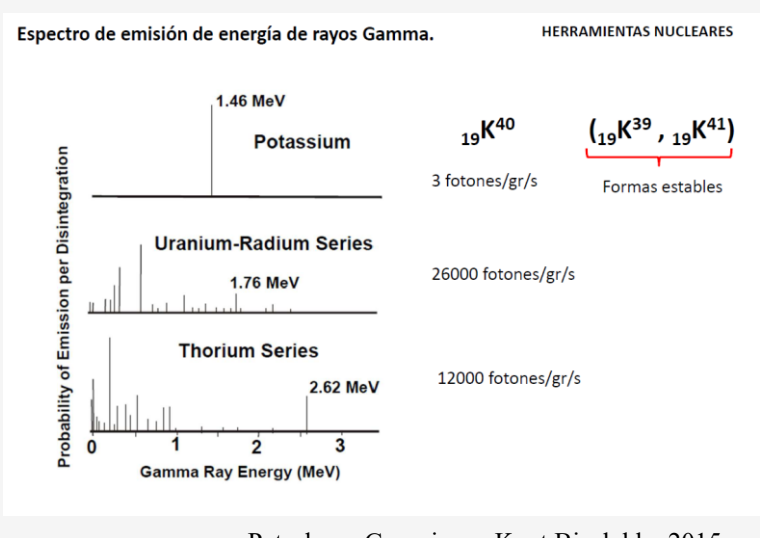


Espectrometría de Pozo: GAMMA RAY ESPECTRAL

 La herramientas de rayos gamma espectral además del total de radiación por unidad de profundidad, miden el nivel discreto de energía de cada rayo gamma detectado.

 Discriminando el total de los rayos gamma en niveles discretos de energía o ventanas, determinan los niveles individuales de Torio, Potasio y Uranio





Petroleum Geoscience Knut Bjørlykke 2015

Espectrometría de Pozo: GAMMA RAY ESPECTRAL

Curvas

• GR: Rayos Gamma

THZ: Cuentas de Torio

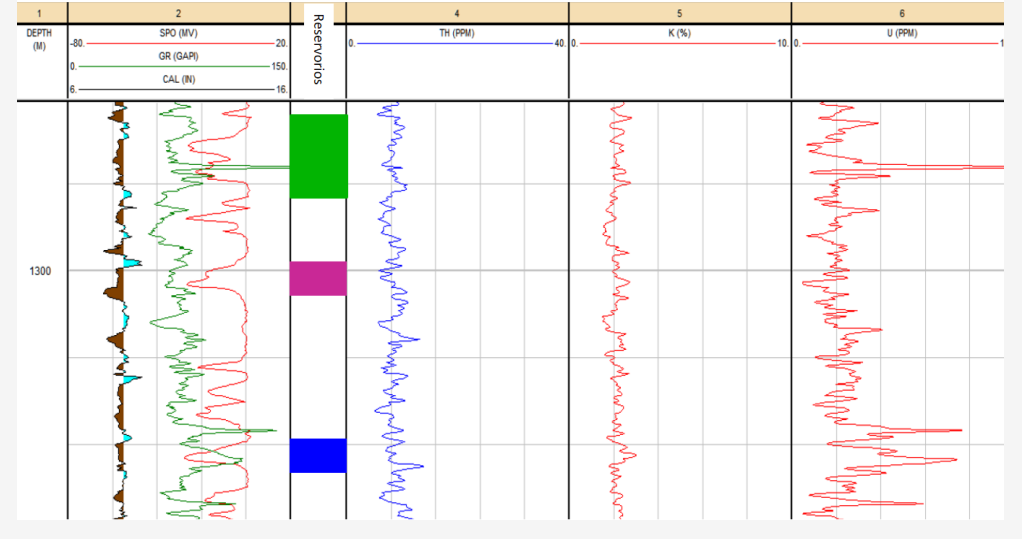
UZ: Cuentas de Uranio

KZ: Cuentas de Potasio

• K: Potasio (%)

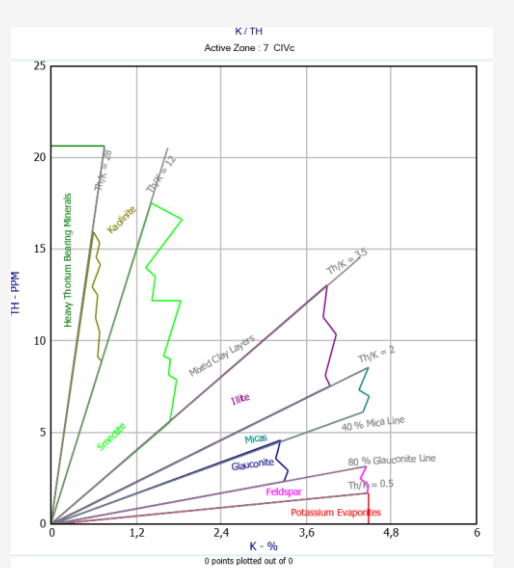
U: Uranio (PPM)

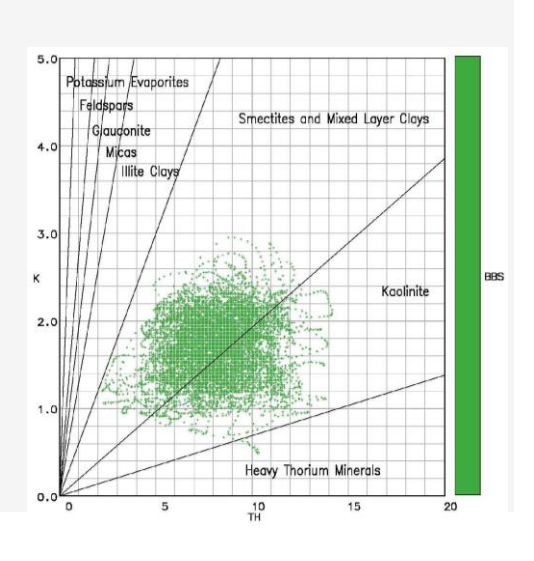
• Th: Torio (PPM)



Los minerales de las arcillas mayormente son agrupados en cinco familias y cada familia causa diferentes problemas en el reservorio:

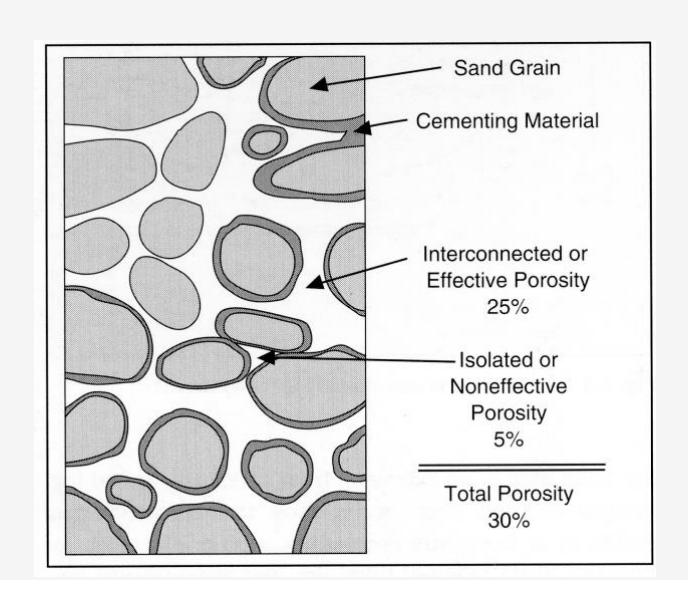
- Grupo de la Caolinita
- Grupo de la Esmectita
- Grupo de la Illita
- Grupo de la Clorita
- Interestratificados.

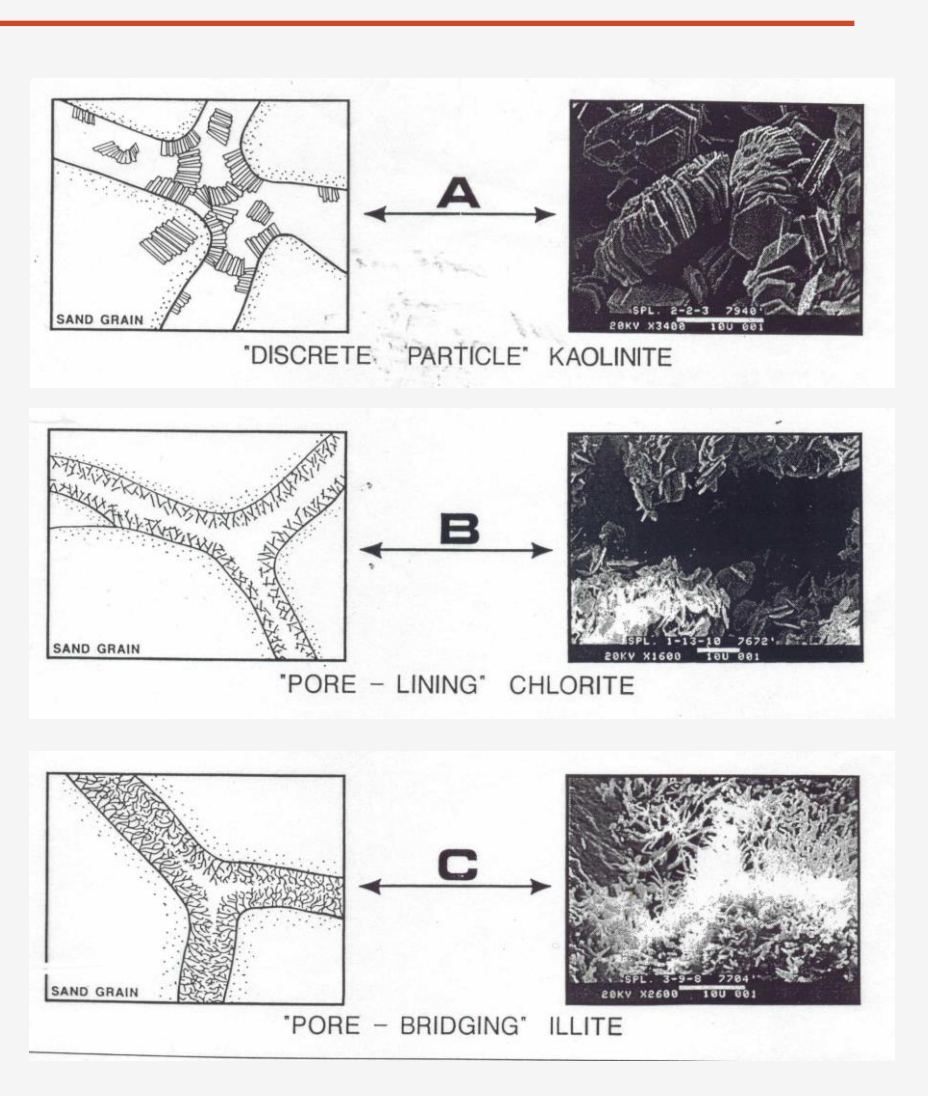




Espectrometría de Pozo: Aplicaciones GAMMA RAY ESPECTRAL

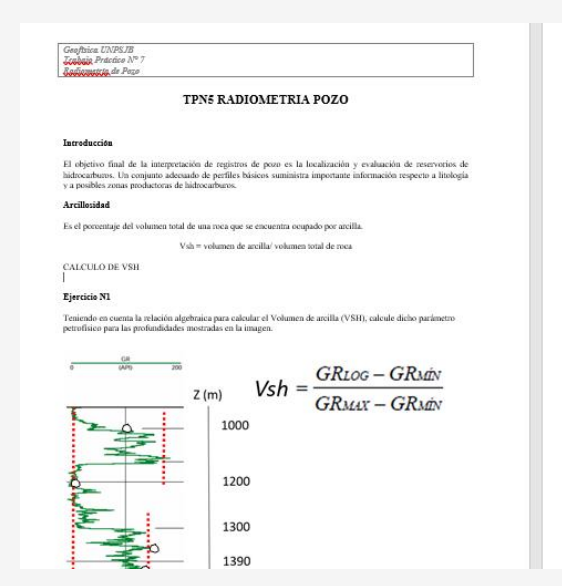
- La caolinita es primariamente responsable de la migración de finos asociados con algunos reservorios.
- La esmectita puede hincharse en presencia de agua dulce
- La illita aumenta la tortuosidad de los poros.
- La clorita puede causar la precipitación de compuestos secundarios de hierro.

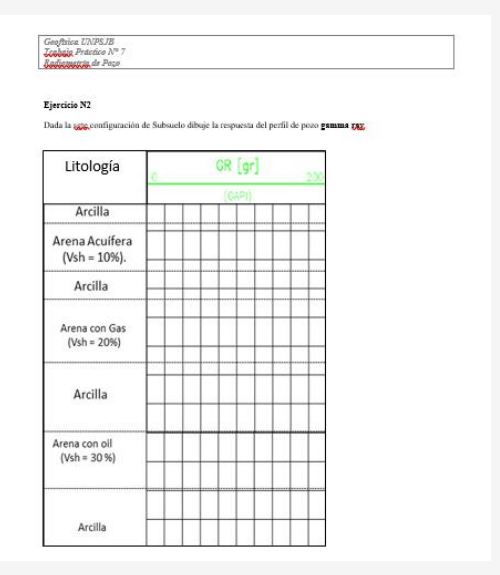


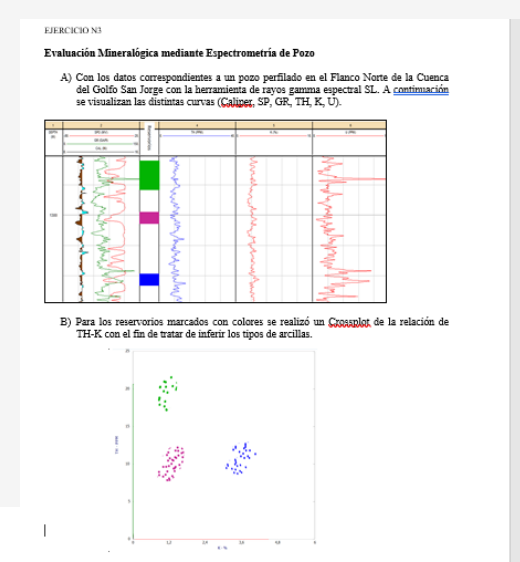


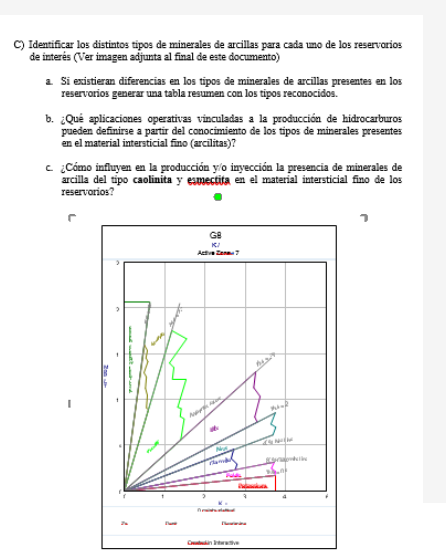
Trabajos Prácticos: http://www.fcn.unp.edu.ar/sitio/geofisica











Bibliografía

- Anderson, D., 1992. The Earth's interior. En Understanding the Earth (p 45-66); Brown, G., Hawkesworth, C.y Wilson, C. editores. Cambridge University Press. Baranwal, V., Watson, R., Smethust, M. y Rφnning, J., 2010. Geological mapping using airborne gamma ray spectrometry. Norges Geologiske Undersφkelse, presentation (22 p).
- Coppens, R., 1963. La radiactividad de las rocas (56 p). EUdeBA.
- De Paoli, L., 2011. L'energia nucleare; costi e benefici di una tecnologia controversa (142 p). Edizioni Il Mulino.
- Ford, K. y López, L., 1998. Characterization of leveling problems of Patagonia gamma-ray spectrometry survey, Chubut province, Argentina. X Congreso Latinoamericano de Geología, V.3 (p. 448-452).
- Forte, S. y Rottoli, L., 2019. Fisica quantistica (368 p). Zanichelli Editore.
- Flores, E., Moreno, J., y Rosales, N. (2010). Ciencias físicas o filosofía de la naturaleza. Panamá: Imprenta Articsa.
- Serway, A., Jewett, J. (2008). Física para ciencias e ingenierías, tomo II. México: Cengage Learning Editores.
- Howell, B., 1962. Introducción a la geofísica (p 42-60). Ediciones Omega.
- Logan, G., Jones, A., Ryan, G., Wettle, M., Thankappan, M., Grosjean, E., Rollet, N. y Kennard, J., 2008.
- Review of Australian offshore natural hydrocarbon seepage studies. Geoscience Australia, N°17 (246 p).
- Lowrie, W., 1997. Fundamentals of geophysics (p 169-177). Cambridge University Press.
- Lunine, J., 1999. Evolution of a habitable world (p 47-53). Cambridge University Press.
- Petroleum Geoscience Knut Bjørlykke 2015
- Schumacher, D. and Abrams, M., 1996. Hydrocarbon migration and its near-surface expression (446 p).
- American Association of Petroleum Geologists, Memoir 66.
- - Telford, W., Geldart, L., Sheriff, R. y Keys, D., 1976. Applied geophysics (p 736-770). Cambridge UniversityPress.
- - Udías, A. y Mezcua, J., 1997. Fundamentos de geofísica (p 401-415). Alianza Editorial.
- - Walker, M., 2005. Quaternary dating methods (304 p). John Wiley and Sons.

Bibliografía

Flores, E., Moreno, J., y Rosales, N. (2010). *Ciencias físicas o filosofía de la naturaleza*. Panamá: Imprenta Articsa. Serway, A., Jewett, J. (2008). *Física para ciencias e ingenierías, tomo II*. México: Cengage Learning Editores.